
2.09.03-85

. . . ; ó . . ; . . .) ; — ; . . . ; . . .
 . . .) , (.), (.), å î (.), (.),
 (.), (.), (.), (.), (.),
 (.), (.), (.), (.), (.),
 (.), (.), (.), (.), (.),
 , ôò ôèì (.), (.), (.), (.), (.),
 ÍÈÈíð ðî êò (.).
 (.).
 .

2.09.03-85 „

” 1 1987 .

II-91-77 „

”;

17 1980 .

28 4 1985 . 2;

II-91-77,

"(302-65);

"(471-75).

(.)		2.09.03-85
		II-91-77, 302-65, 471-75

: 1.
 (.), , , , , , ,
 2. (.), , , , , , ,
 ,

),
3.
2.04.03-85. 2.04.02-84

1.

1.1.

" , " $\left(\frac{24-86}{\dots}\right)$,

1.2.

(,); , , , , , , ;
, ; , , ;
, ; , ;
, ; , ;
, ; , ;
, ; , ;
, ; , ;
;

101-81*

1.3.

2.01.07-85, 2.02.01-83, 2.03.01-84, II-23-81, 2.03.11-85,

50° ,
2.03.04-84.

50° ,
 40° ,

29	1985 . 263	1 1987 .

2.03.04-84

1.4.

, , , , ,

1.5.

, , , II-89-80.

1.6.

, , ,
2,0 ();

2000 / 1 , , 1,5 .

1.7.

12.2.022-80.

1.19. , ,
2.03.11-85.

1.20. ,
305-77.

1.21. (,) , , (,
, ,),

1.22. (,) ,
,

1.23. , , , ,
,

1.24. , , , , ,
,
120 , ,
120 , ,

1.25. , , ()

2.

2.1. << , , , , ,

2.2. , , , , ,
,

2.3. (,) , ,
0,3 . , , , ,

2.4. 0,3
2.02.01-83. , 0,6

2.5. 3
0,3
2.5. 3
0,02.

2.6. 0,125.
10
, 20 —
30 — , 25 —

2.7. 1,2
1,1 1520 0,75 — 750
2.8. , , , , ,

0,75
2.9.

0,4
2,5

í ð ííâé

2.10.

3,1
2.11.

1.

1

,	,
1800 — 1200 1000 — 700 600	0,1 0,2 0,3

2.12.

).

(

2.13.

5 %

301-65.

0,04.

3—6

2.14.

2.15.

,

,

2.16.

1.

(

—

)

θ_0

abcd

(. 1).

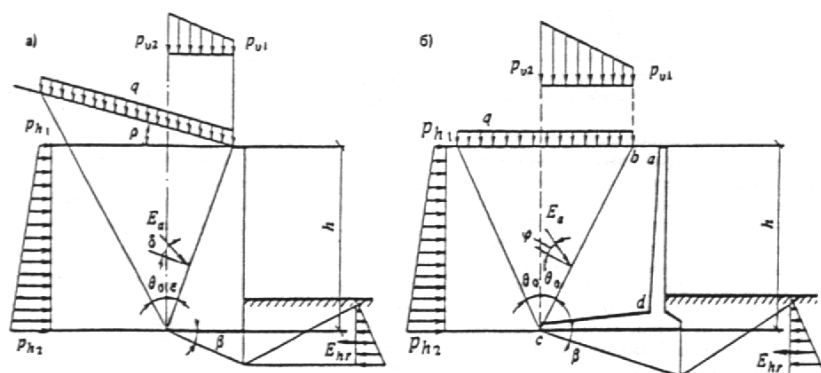
$\varepsilon = \theta_0$ $\delta = \phi$.

(

).

0,25h,

0,25h, h —



. 1.

— ; —

2.17.

q

2.18.

,

:

;

(

);

;

(

)

:

;

2.19.

)

()

(

$$F_{sa} \leq (\gamma_c / \gamma_n) F_{sr}, \quad (1)$$

F_{sa} —

,

:

$$F_{sa} = \frac{h}{2} (p_{h1} + p_{h2}); \quad (2)$$

γ_c —

,

: ,

, $\gamma_c = 1$;

$\gamma_c = 0,9$;

$\gamma_c = 0,85$;

:

$\gamma_c = 1$;

$\gamma_c = 0,9$;

$\gamma_c = 0,8$;

γ_n —

I, II III

,

1,2; 1,15 1,1

"

";

F_{sr} —

,

:

$$F_{sr} = F_v \operatorname{tg}(\varphi_I - \beta) + A_C I + E_{hr}, \quad (3)$$

F_v —

;

,

φ_I — c_I —

1;

β —

;

—

hr —

$\beta : \beta = 0$ —

, $\beta = 0,5 \varphi_I$ $\beta = \varphi_I$ —

φ_I — I (3)

2.20.

F_{sr}

30° φ_I 5 ($\beta = 0$) ($0,5 / ^2$) I,

$\lambda_{hr} = 1$.

(1),

$$F_{sr} = F_v f + E_{hr}, \quad (4)$$

F_v, E_{hr} —

,

(3);

f —

0,65.

,

,

2.21.

$$F_v \leq \left(\gamma_c / \gamma_n \right) N_u, \quad (5)$$

γ_c, γ_n — , (1);
 N_u — ,
 $2.02.01-83.$

2.22. (,)
 p_h

,
 $2.23.$ —
 $2.02.01-83.$

, , , 75 %

3.

3.1.

, , ,

3.3. , , , 6 ; 7,5

, , , , 606 609 .
3.4. 0,6 ,

, , , , 2,4 .
3.5. () 2 .
3.6.

, , , ()

3.8. , , ,

3.9.
 $301-65.$

3.10. - 120 () 60
 $)$.

3.11.

1 .

3.12. 100 (10^{-2}) , , ,

3.13.

$$\beta = 0,5\phi_l \quad \beta = \phi_l \quad 2.19$$

3.14. 1.

3.15.

, ,

$$E = (0,5 + 0,3 h_1) \beta_1 E, \quad (6)$$

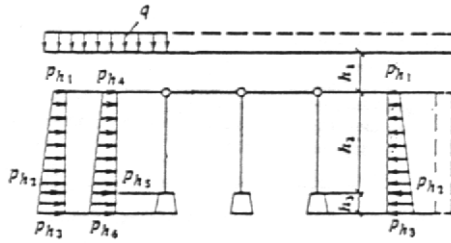
$h_1 =$

$\beta_1 = 0,7$

$\beta_1 = 0,9$

3.16.

(. . 2).

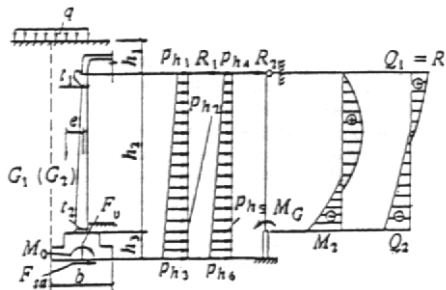


. 2.

3.17.

(. . 3),

, , ,



. 3.

3.18.

$p_{h1,2,3}$

$p_{h4,5,6}$

1

R

3.19.

R_1

$$R_1 = \frac{\left[p_{h1} \left(v_1 + \frac{1}{2} km \right) + \left(p_{h2} - p_{h1} \right) \left(v_2 + \frac{1}{6} km^2 \right) \right] h_2}{1+k} - \frac{G_1 ek}{(1+k)(h_2 + h_3)}, \quad (7)$$

$p_{h1}, p_{h2}, h_2, h_3 = 3;$

$k =$

R_1

:

$$k = \omega E_b I_h m^2 / E b^2 h_2, \quad (8)$$

$\omega =$

,

: 6 —

,

$F_{sa} (. . . . 3);$

$Q; 3 =$

$$m = (h_2 + h_3)/h_2, \quad (9)$$

$$\begin{aligned}
& b - & ; & ; \\
& - & ; & ; \\
& b - & ; & ; \\
& I_h - & 1 & , \\
& t_{red}, & & \\
& t_{red} = (2t_2 + t_1)/3, & (10) \\
& t_1 - & ; & ; \\
& t_2 - & ; & ; \\
& G_1 - & ; & ; \\
& ; & ; & ; \\
& - & G_1 (G_2) & ; \\
& v_1 - v_2 - & , & . 2. \\
& & & 2
\end{aligned}$$

t_1/t_2	1,0	0,7	0,6	0,5	0,4	0,3
v_1	0,375	0,357	0,346	0,335	0,321	0,303
v_2	0,1	0,092	0,088	0,083	0,076	0,069

$$3.20. \quad R_2$$

$$R_2 = \frac{\left[P_{h4} \left(V_1 + \frac{1}{2} mk \right) + \left(P_{h5} - P_{h4} \right) \left(V_2 + \frac{1}{6} km^2 \right) \right] h_2}{1 + k + k_1} - \frac{G_2 ek}{(1 + k + k_1)(h_2 + h_3)}, \quad (11)$$

$$\begin{aligned}
& p_{h4}, p_{h5} - . . . 3; \\
& G_2 - & ; \\
& k_1 - & , & R_2 \\
& : & ;
\end{aligned}$$

$$k_1 = k_0 E_b I_h / E' h_2^3, \quad (12)$$

$$\begin{aligned}
& k_0 - & , & : 4 - & , 3 - & , 2 \\
& - & , & 0 - & ; & \\
& - & (6). & & & \\
3.21. & & & & &
\end{aligned}$$

(1), (3), (4), (5).

$$3.22. \quad F_{sa} \quad F_{sr} \quad (3),$$

$$F_{sa} = -R_1 + \frac{1}{2} (P_{h1} + P_{h3}) (h_2 + h_3) \quad (13)$$

$$3.23. \quad 0$$

$$M_0 = -R_1 (h_2 + h_3) + \frac{1}{2} (P_{h1} + P_{h3}) \frac{(h_2 + h_3)^2}{6} - G_1 e; \quad (14)$$

$$R_1 - R_2, p_{h1} - p_{h4}, p_{h3} - p_{h6}. \quad (13) \quad (14),$$

3.24.

, , ,

3.25.

, , .) (, ,

3.26.

, , ,

2.09.02-85.

3.27.

3000³

3.28.

, ; , 25 .

75

(, , ,)

75 .

3.29.

(,)

,

3.30.

, , , , ,

1 .

. 3.26.

3.31.

100³

(, , , ,

3.32.

, , , 1 , 400

2 .

:

54²;

54².

, , , , , , ,

3.33.

300

4.

4.1.

, , , , ,) (, , ,

4.2.

, , (0,3 . , ,)

4.1.

, , , , ,) (, , ,

,

4.4.

,

,

4.5.

0,01. Å

100—150

0,002

;

0,04,

—

0,01.

4.6.

,

0,3

,

,

4.7.

,

0,5 ,

,

— 1

4.8.

, ;

, ;

4.9.

:

(

) —

;

(

) —

4.10.

,

,

(

4.11.

(. . 4)

)

1

$$M_1 = -\frac{1}{1+k} \left[(p_{h1}v_3 + p_{h2}v_4)h_2 + N_1 b k \frac{\psi_N}{\psi_M} \right], \quad (15)$$

$k =$ — , :

$$k = \frac{3E_b I_v}{\pi E b^2 h} \psi_M; \quad (16)$$

$N_1 =$ — (. . 4, a);

$\psi_N, \psi_M =$ — , :

$$\psi_N = 0,3(6+0,1\alpha_v), \quad (17)$$

$$\psi_M = 0,2(100+\alpha_v), \quad (18)$$

$\alpha_v =$ — , :

$$\alpha_v = \pi E b^3 / E_b I_v. \quad (19)$$

(15) — (19)

$I_v =$ — 1

; ;

$v_3, v_4 =$ — ,

t_1

t_2

. 3

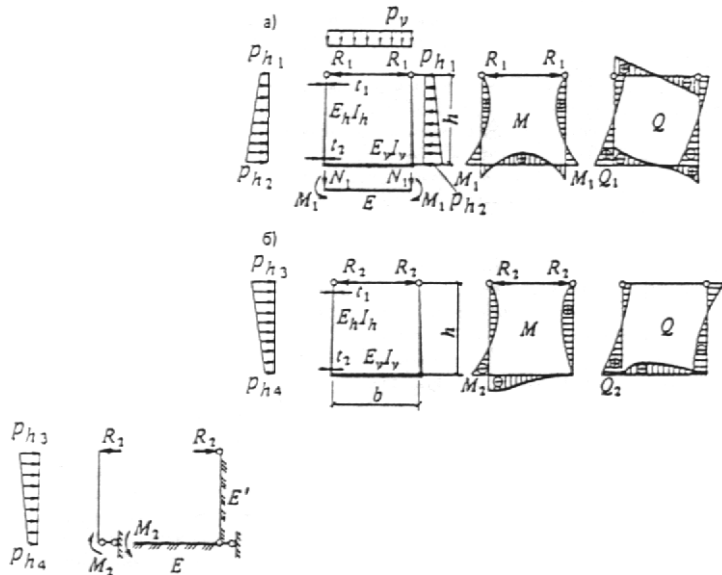
t_1/t_2	1,0	0,7	0,6	0,5	0,4	0,3
v_3	0,0583	0,0683	0,0753	0,0813	0,0883	0,0993
v_4	0,0667	0,0747	0,0747	0,0837	0,0907	0,0977

$$(\quad \quad) R_1 \quad , \quad M_1. \quad , \quad p_{h1}, p_{h2},$$

R_1

$$R_1 = -\left(2 p_{h1} + p_{h2}\right) \frac{h}{6} - \frac{M_1}{h}. \quad (20)$$

$N_1 \quad , \quad M_1 (\quad . \quad . \quad . \quad 4, a).$



. 4.

—

4.12. p_{h3}, p_{h4} (. 4,)

$$M_2 = -h^3 (p_{h3}v_3 + p_{h4}v_4) \frac{1+4k_1}{1+k+k_1}, \quad (21)$$

k_1 —

,

$$k_1 = 6 E_b I_h / E' h^3, \quad (22)$$

' —

(6).

,

(15).

R_2

(20).

()

γ_2 (. . . 4).
(,),

R_2 .

4.13. , $q \leq 9,81$ (1 $/^2$)

4.14. (),

4.15. ,

$$\frac{\sum G}{A h_w \gamma_w} \geq \gamma_f, \quad (23)$$

$\Sigma G =$
— , ;
 $h_w =$; ();
 $\gamma_w =$, 1;
 $\gamma_f =$, 1,2.
4.16. ()
100 , ,
Øññøøé í .

1. ,
2. , 120
150 ,
3. , ,
1 , ,
() ()
4. () , öüüüé à () . 4.17).

4.17. (, , . .)

,
() ,
0,6 ,
, ; ,
,

4.18. , 100 , ,

- 4.19.** ()
 25 .
 50
- 4.20.** , , , ,
 2
- 4.21.** , , , ,
 300 0,1 , 0,7 .
 4
- 4.22.** , , , ,
 , , , ,
 , , , ,
 80 1 () 2 .
- 4.23.** () () (), 150
 — 0,75 ,
- 4.24.** 0,6 .
 0,75 .
 150 , — 120 .
 , , , ,
- 4.25.** (,) (,).
 , , ,
 , , ,
 , , , 0,5 .
 50 .
 (,).
- 4.26.** 301-65.
- 4.27.** 15° ; 1:1.
- 4.28.** 1,5 .
 , , , , , ,
- 4.29.** , , , , , ,
- 4.30.** 100 $^3;$;
 ; () , , 12 .
 20 100 $^3;$;
 5 12 ;

50³; 12

4.31.

,

30 ,
30 .
700δ700 700 ;

,

5.

5.1. ,

5.2. , , ,

5.3. 6 24 — 3 , 24 60 — 6 . , , , 0,6

5.4. 0,6 () 1:2

5.5. , , , , ,

5.6. , , , , ,

5.7. 25.

15.
5.8. 15.

5.9. , , , ,

W4;

2.03.01-84.

5.10. — : ,

5.11.

$$P_h = \frac{\bar{P}_h + C_0 \operatorname{tg} \left(45^\circ - \frac{\varphi}{2} \right)}{1 - \operatorname{tg} \varphi_0 \operatorname{tg} \left(45^\circ - \frac{\varphi}{2} \right)} \quad (24)$$

$\bar{P}_h = \gamma r k_1 + q k_2 - c k_3$;

c_0, Φ_0 — ,
:

$$\left. \begin{array}{l} C_0 = c k \\ \varphi_0 = \varphi \end{array} \right\}; \quad (25)$$

k_1, k_2, k_3 — , φ — ; $\frac{z}{r}$
 r — ,
 γ — ;
 z — ;
 q — , j — ;
 k — ,
 \vdots .
 $(\quad - \quad)$!

	k
	0,22 (0,33) 0,25 (0,38) 0,29 (0,43) 0,65 (1)

, , p_h ,
, , ,
, , ,

$$h_n = \frac{\sum_{i=1}^{n-1} \gamma_i h_i}{\gamma_n}, \quad (26)$$

$\sum_{i=1}^{n-1} \gamma_i h_i$ — $(n-1)$, h_n ;
 γ_n — .

4

$\frac{z}{r}$	k_1, k_2, k_3 — φ ,						
	10	15	20	25	30	35	40
0	0	0	0	0	0	0	0
0,50	0,32	0,26	0,20	0,16	0,13	0,10	0,08
1,00	0,62	0,49	0,36	0,28	0,21	0,16	0,11
1,50	0,92	0,71	0,50	0,37	0,27	0,20	0,13
2,00	1,15	0,90	0,62	0,42	0,30	0,23	0,15
2,50	1,30	1,00	0,72	0,47	0,32	0,25	0,16
3,00	1,45	1,10	0,80	0,52	0,34	0,26	0,17
3,50	1,60	1,20	0,85	0,56	0,36	0,27	0,17
4,00	1,70	1,30	0,90	0,60	0,38	0,27	0,17
4,50	1,79	1,38	0,95	0,64	0,40	0,27	0,17
5,00	1,38	1,45	1,00	0,68	0,42	0,27	0,17
0	0,81	0,60	0,49	0,40	0,33	0,27	0,22
0,50	0,64	0,46	0,37	0,28	0,21	0,15	0,11
1,00	0,58	0,38	0,29	0,20	0,14	0,08	0,06
1,50	0,50	0,33	0,23	0,15	0,10	0,05	0,04
2,00	0,46	0,30	0,20	0,12	0,07	0,04	0,02

2,50	0,43	0,27	0,17	0,09	0,05	0,03	0,01
3,00	0,41	0,25	0,15	0,08	0,04	0,02	0
3,50	0,39	0,24	0,14	0,07	0,04	0,02	0
4,00	0,38	0,23	0,13	0,06	0,03	0,01	0
4,50	0,36	0,21	0,12	0,05	0,03	0,01	0
5,00	0,35	0,20	0,11	0,04	0,02	0,01	0
0	1,70	1,50	1,40	1,25	1,05	1,00	0,90
0,50	2,25	2,00	1,75	1,55	1,30	1,15	1,05
1,00	2,60	2,30	1,95	1,70	1,45	1,30	1,13
1,50	2,90	2,50	2,10	1,85	1,52	1,38	1,18
2,00	3,05	2,65	2,25	1,90	1,58	1,40	1,20
2,50	3,15	2,75	2,30	1,95	1,60	1,40	1,20
3,00	3,30	2,83	2,35	1,97	1,65	1,40	1,20
3,50	3,45	2,90	2,40	2,00	1,66	1,40	1,20
4,00	3,55	2,95	2,45	2,00	1,68	1,40	1,20
4,50	3,63	3,00	2,47	2,05	1,70	1,40	1,20
5,00	3,80	3,05	2,50	2,10	1,70	1,40	1,20

5.12.

$$P_h = \gamma_1 z, \quad (27)$$

γ_1 —

(24).

5.13.

5.14.

$$P_{ad} = 0,25 P_h \quad (28)$$

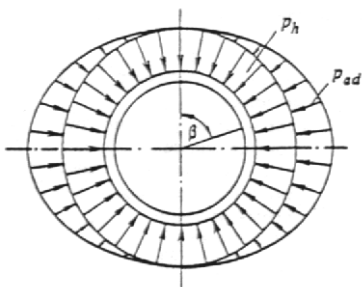
$$P_{ad} = 0,15 P_h \quad (29)$$

5.15.

5.16.

(. . . 5)

$$P_{ad\beta} = P_{ad} \sin \beta. \quad (30)$$



. 5.

éâîé

p_h

p_{ad}

5.17. Å

$$P_{h0} = (\gamma z + q) \lambda_0, \quad (31)$$

$\frac{z}{\lambda_0} = \dots ; \dots ; \dots$

$$\lambda_0 = \frac{\nu}{1-\nu}, \quad (32)$$

$\frac{\nu}{0,23} = \dots ; \dots ; \dots$
 $\frac{\nu}{0,26} = \dots ; \dots ; \dots$
 $\frac{\nu}{0,28} = \dots ; \dots ; \dots$
 $\frac{\nu}{0,30} = \dots ; \dots ; \dots$
 $\frac{\nu}{0,33} = \dots ; \dots ; \dots$
 $\frac{\nu}{0,35} = \dots ; \dots ; \dots$
 $\frac{\nu}{0,38} = \dots ; \dots ; \dots$

$$P_{h0i} = \lambda_{0i} \left(\gamma_i z_i + \sum_{i=1}^{n-1} \gamma_i h_i \right), \quad (33)$$

$\lambda_{0i} = \dots ; \dots ; \dots$
 $\gamma_i, z_i = \dots ; \dots ; \dots$
 $\gamma_i, h_i = \dots ; \dots ; \dots$

$$P_{ad0} = 0,1 P_{h0}. \quad (34)$$

5.18. $1 \quad F_z \quad z$

$$F_z = f_z u, \quad (35)$$

$f_z = \dots ; \dots ; \dots$
 \vdots
 $)$

$$f_z = \gamma_c (P_h \operatorname{tg} \varphi_0 + c_0), \quad (36)$$

$\gamma = \dots , \dots , 1 = \dots ; \dots ; \dots ; \dots , 1,2 = \dots , \dots , \dots$
 $)$

$$f_{z1} = P_{h1} \operatorname{tg} \varphi_0 + c_0, \quad (37)$$

$P_{h1} = \dots ; \dots$

$$P_{h1} = \frac{\bar{P}_h - c_0 \operatorname{tg} \left(45^\circ - \frac{\varphi}{2} \right)}{1 + \operatorname{tg} \varphi_0 \operatorname{tg} \left(45^\circ - \frac{\varphi}{2} \right)} \geq 0. \quad (38)$$

20 (2¹/²).

5.19.

5.20.

5.21.

5.22.

5.23.

$$\frac{G}{F + N_u} \geq \gamma_{f1}, \quad (39)$$

$G -$

$F -$

$N_u -$

2.02.01-83;

$\gamma_{f1} -$

$\gamma_f = 0,9;$

;

,

$\gamma_{f1} = 1$

,

(

,

,

)

$$\frac{\sum G + F_1}{A h_w \gamma_w} \geq \gamma_{fw}, \quad (40)$$

$\Sigma G -$

$\gamma_f = 0,9;$

$F_1 -$

$-$

$h_w -$

$\gamma_w -$

$\gamma_{fw} -$

;

;

;

, 1,2.

(40) , , .).

5.24.

5.25.

(,).

5.26.

2.02.01-83.

5.27.

301-65.

0,5
5.28.

6.

6.1.

; 93,6 ; (700 . . .) 20° ; 70 (0,7

/ cm^{-2});

â

;

6.2. II-
106-79 1510-84 (1415-78).

6.3. Å

6.4.

— (—) ; (—) ;

106-79.

: 1.

2.

3.

6.5.

II-106-79

$$\frac{1000}{1} \quad \frac{3000}{1} \quad ^3$$

, ,

6.6.

$$14249-80.$$

6.7.

$$\frac{1}{0,7} \quad (\quad , \quad)$$

6.8.

$$600 \quad),$$

6

6.10.

$$2 \quad (200 \quad / \quad ^2).$$

6.11.

$$0,6 \quad .$$

$$100 \quad .$$

6.12.

$$\frac{1}{7} \quad (700 \quad / \quad ^3)$$

$$0,3 \quad (30 \quad / \quad ^2).$$

6.13.

6.14.

$$(\quad),$$

6.15.

$$1,0 \cdot 10^{-5} \quad / \quad ,$$

$$70 \quad 99 \quad \%$$

6.16.

$$5000 \quad ^3$$

$$25-30 \quad ,$$

$$1 \quad .$$

$$2$$

6.17.

$$30 \quad , \quad 1$$

6.18.

$$100 \quad , \quad ,$$

$$;$$

$$2 \quad .$$

6.19.

,
1,

6.20.

:
26,6 (200 .) ;
28 ° ,
70 (7000 .).)

;
20 60 °
;

60 90 °
;

90 ° ,
() ,

6.21.

:
0,2 (20 .).)
;

— 793870 (). / .., 1981, 1.

.)
6.22.

— 0,5 (50 .). 2,5 (250 .)

— 40 (4000 .);
— 70 (7000 .). 10 %,

6.23.

6.24. ,

200 , , 0,005.

0,003r 100 (r —).
0,002 — 0,004 —

6.25.

0,5

6.26.

6.27.

(, ,

) ,

17032-71.

18 .

12 ()

,

,

6.28.

6.29.

II-23-81,

:
 I — 10 . .³,
 ;
 II — 10 . .³,
 , , ,

6.30.

,

6.31.

γ . 5.

2.01.07-85

γ_f . 6.

5

	γ
(,) , :	0,7 0,8 1,2 1 0,9 1

6.32.

, ,

6.33.

6

	γ_f
	1,2 0,5 0,7

2.01.07-85.

6.34.

6.35.

0,2 .

6.36.

(,).

6.37. - . ()
0,5 .
5000 ³,
10 000 ³ — , ,
,

6.38.

6.39. , 500 ³ , — 3 ;
— 6 6 306 .
6.40. ,
,

6.41. 1

6.42.

6.43.

6.44. 25 — 40, — 25 — 30.
,

6.48.

6.45. F300 W8.
W6.
2.03.01-84,

6.46.

6.47. C₄AF ≤ 2,2 % 3 ≤ 5 % 3 +
0,45.

6.48.

10268—80. 15%.

6.49.

() ; ; ;

6.50.

,
;
,

6.51.

$$0,1 \quad \quad \quad) \quad (\quad , \quad , \quad) \\ 0,05R_{b,ser.}$$

6.52.

2.03.01-84.
 50°

2.03.04-84.

7.

7.1.

, , ,

7.2.

, , , , ,

$$— 70 \quad (0,7 \quad / \quad ^2). \quad : \quad — 4 \quad (400 \quad . \quad .)$$

7.4. , , , , ,

— 50 000;

— 600 [

$$0,25 \quad (2,5 \quad / \quad ^2); \quad 1,2 \quad (12 \quad / \quad ^2)], \quad 1,8 \quad (18 \quad / \quad ^2)] \quad 2000 [$$

— 50 300;
— 50 200.

7.5.

II-23-81

. 6.29.

7.6.

$$— (\quad , \quad ; \quad .); \\ — \quad ; \quad .$$

2

7.7.

(,)

,

7.8.

, , ,

7.9.

7.10.

, , , ;
, , , ;
, , , ;

7.11.

. 6.31

II-23-81.

γ

. 7, à

γ_f
1,2.

7

	γ
	0,6
	0,9
	1,2
	0,9
	0,9

7.12.

, , ,

0,7

1,0

7.13.

, , 50 %.

,

8.

8.1.

,

8.2.

,

,

\hat{a}

, ,

, 686, 689 989 .

8.3.

, , 3 ,

3,6; 4,8

8.4.

$$0,6 \text{ ,} \hat{a} - 0,3 \text{ ,} \\ - 1,2 \text{ .}$$

8.5.

, , ,

8.6. \hat{A}

8.7.

0,3 .

8.8.

, , ,

. 8.

8

	, / ${}^3(\text{ / } {}^3)$,
	40 (4) 35 (3,5) 40 (4) 35 (3,5)	45
	20 (2)	50

	25 (2,5) 20 (2) 27 (2,7) 20 (2) 25 (2,5) 18 (1,8) 20 (2) 18 (1,8) 28 (2,8) 31 (3,1)	45
	12 (1,2)	40
	18 (1,8) 17 (1,7) 18 (1,8) 14 (1,4) 8 (0,8)	35
	19 (1,9)	33
	16 (1,6) 8 (0,8)	30

8.9.

$$20 \quad (2 \quad / \quad ^2)$$

8.10.

$$\gamma = 1,2.$$

$$\gamma_f = 1,1.$$

8.11.

$$, \quad , \quad ,$$

9.

9.1.

,

9.2.

$$: 1)$$

—

, , , ,

, , , ,

,

$$; 2)$$

9.3.

(

$$) \quad (\quad , \quad , \quad , \quad , \quad , \quad)$$

$$, \quad — \quad , \quad , \quad 2 \quad 2 \quad , \quad ,$$

$$2 \quad 2 \%.$$

, 2 %,

9.4.

,

$$: \quad , \quad ,$$

,

$$, \quad , \quad , \quad , \quad ,$$

9.5.

:

, —

,

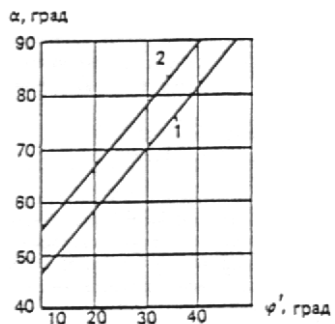
$5—7^\circ$.

9.6.

(,),

, , ; , , , —
().

6



.6.

1— (; φ — 3:1); 2— иó÷ аâ о ё; α —

9.7.

9.8.

(80 %).

9.9.

9.10.

, , , , , , , ,

9.11.

, γ

9.12.

•иçääéñôåèÿì

9.14.

9.15.

(, , , , , , ,) —

9.16.

(III).

I — I , , , , , ,

II — , . II

, , , , 50 ° —

III — , .
9.17.

(), ().
9.18.

2.03.11-85.

9.19.

, , , , \hat{a}

9.20.

9.21.

, , , ,

9.22. , , , (, , ,),

1 , ,

9.23.

50 , 100

9.24. , ,

— , 300 ° , — 100 ° .

9.25. , , ,

(, ,),
9.26.

9.27.

—

10.

10.1.

2.10.05-85.

10.2.

, , , , ,

II

10.3. , , , . 9.2 — 9.6.

10.4.

12

10.5.

10.6.

, 363, 666 12 12 ; ,
— 3, 6, 12, 18 24 ; — 363 ; ,
— 0,6 .

10.7.

48

2.

3.

10.8.

()

, , , ,

II-33-75.

10.9.

, , ,

10.10.

101-81*,

()
).

()

,

10.11.

, ; ; ; ;
" " ; ; ;

10.12.

3

—

,

10.13.

, , ,

10.14.

10.15.

10.16.

10.17.

10.18.

,

10.19.

12

10.20.

,

10.21.

,

10.22.

,

10.23.

10.24.

$$\frac{1}{\rho} = \frac{1}{\rho_0} + \frac{1}{\rho_0} \left(\frac{\rho - \rho_0}{\rho_0} \right)^2$$

10.25.

2.01.07-85.

$$\frac{1}{\rho} = \frac{1}{\rho_0} + \frac{1}{\rho_0} \left(\frac{\rho - \rho_0}{\rho_0} \right)^2$$

[$\rho_0 = 2 \text{ (200) } / \text{m}^2$],

10.26.

2.01.07-85.

$$(\gamma_f, \gamma_f^3) = 1,4; \quad (\gamma_f, \gamma_f^3) = 0,7; \quad (\gamma_f, \gamma_f^3) = 1,3;$$

10.27.

$$\gamma_f \quad 2.01.07-85:$$

$$\gamma_f = 1,3; \quad \gamma_f = 1,1.$$

10.28.

$$(\rho_s, \rho_b) = 0,9.$$

10.29.

$$12 \quad p_s = 0,85; \quad p_s = p_b;$$

$$s = b = 0,7.$$

10.30.

$$(\rho_s, \rho_b), \quad 100^\circ$$

10.31.

$$(\rho_s, \rho_b) = 0,6\gamma, \quad 12$$

10.32.

$$12$$

10.33.

$$2.03.01-84, \quad \delta = 1,2 \quad \delta = 1$$

10.34.

$$1/200$$

10.35.

$$P_h^n$$

$$P_h^n = \frac{\gamma^n p}{f^n} \left(1 - e^{-\lambda f^n \frac{z}{p}} \right) \quad (41)$$

$$p = \frac{A}{u} -$$

$$-\frac{1}{u} \quad (\rho - u - \frac{1}{u})^2 = 0; \quad \rho = u + \frac{1}{u}$$

$$\lambda = tg^2 \left(45^\circ - \frac{\varphi^n}{2} \right) - \frac{\varphi^n}{z};$$

;

10.36.

$$P_v^n = \frac{P_h^n}{\lambda}. \quad (42)$$

10.37. ()

$$P_{h0}^n = a P_h^n, \quad (43)$$

— , . 9

,

9

		γ	$\frac{a}{\gamma_c}$	
			2	1
I.				
1.		2	1	2
2.		2	1	2
3.	4 :	2 2	1,65 2	1,2 1
II.				
4.	, ,	2	1,3	1,5
5.	1,5 *	2	2	1
6.		2	0,8	2,5
7.		1,5	0,8	2,5

*

$h < 1,5$

γ

1,3 2

$$\gamma = 1,3 + 0,47 h.$$

2.

: 1.

γ

γ 0,8.

1.

10.38.

$$P_{h1}^n = P_h^n (a - 1). \quad (44)$$

10.39.

$$P_f^n,$$

,

$$P_f^n = f P_h^n. \quad (45)$$

10.40.

$$P_{v1}^n$$

$$P_{v1}^n = a P_v^n, \quad (46)$$

$$P_{v1}^n = \gamma \zeta,$$

$$, P_v^n = . 10.36 - 10.37;$$

$\gamma =$

$z =$

10.41.

,

10.42.

$$N = \frac{\gamma_f}{\gamma_c} a P_h^n \frac{d}{2}, \quad (47)$$

$N =$

;

$\gamma_f =$

, . 10.27;

$a, \gamma_c =$

, . 9;

$d =$

10.43.

$$(47), \quad d$$

,

10.44.

$$2.03.01-84, \quad , \\ \gamma_b = 0.75, \quad , \\ 1. \quad , \quad \gamma_{b2}, \quad ,$$

10.45.

,

,

1.

10.46.

,

,

$$P_{ht}^n = k_t \frac{\alpha_t T_1 E_m}{d \cdot \frac{E_m}{2t} + (1-v) E_c}, \quad (48)$$

$k_t =$

, 2;

$\alpha_t =$

, $1.2 \cdot 10^{-5}$;

$T_1 =$

, 2.01.07-85;

E_m —		;		;	
d —				;	
t —			,	;	
E_c —		;			
v —			()
10.47.		,			
	,	()	,	1,4.
10.48.	II-23-81			$\gamma = 0,8.$	
10.49.		,	,	,	
	,	,	,	,	
10.50.	—				15,
			$\hat{A}25.$		
10.51.		,			,
		()		
	2.02.01-83.				
10.52.					
10.53.		,			,
		,			
10.54.		,			,
10.55.	(0,004)	,	,	,
10.56.				0,8	1:1.
	,	,			
	0,7		1:1,		1,0
		8	.		,
10.57.					0,7 ,
1:1	,	1,0	.		
				,	
	300	,	5	.	,
			(
)			1:1.		
	300				
			2.09.02-85.		
10.58.					
10.59.					
10.60.		75	.		10
		100	.		
10.61.		0,6			
		,			
		,			

10.62.

$$) \quad , \quad , \quad , \quad 101-81^* \quad (\\) \quad 0,25$$

$$(\quad , \quad) \quad , \quad , \quad , \quad 0,75$$

11.

11.1.

,

11.2.

$$(\quad , \quad).$$

11.3.

11.4.

$$0,6 \quad , \quad , \quad , \quad 0,3 \quad , \quad —$$

11.5.

11.6.

$$0,1 \quad ; \quad 0,8 \quad 2,1 \quad ,$$

11.7.

, 0,8

11.8.

$$, \quad , \quad , \quad , \quad , \quad , \quad , \quad (\quad , \quad),$$

11.9.

1/200

11.10.

$$\gamma^n = 8,5 \quad / \quad ^3(0,85 \quad / \quad ^3),$$

$$\phi^n = 40^\circ.$$

11.11.

$$, \quad ; \quad , \quad ; \quad (\quad , \quad).$$

11.12.

$$— \quad (\quad , \quad).$$

11.13.

$$, \quad , \quad ,$$

$$,$$

11.14.

a_h

$$a_h = 1,2 \eta a, \quad (49)$$

η —
11.15.

2.03.01-84.

2),

300

11.16.
11.17.

1:1.
25772-83.

12.

12.1.

12.2.

70-80 % (

1,0

0,8

).

12.3.

12.4.

606, 906, 1206 (

6).

12.5.

0,6

(, , ,)

12.6.

150

12.7.

12.8.

12.9.

2.01.07-85

50 %.

12.10.
2.01.02-85,

I, II III IV
— I

II

III IV

12.11.

, Å,
0,75 .

12.12.

(),
150 . ,
II-92-76.

, , , , — ,

(, , , , . .)

12.13.

, , , , 4

0,75 .

: 1.

2.

0,25 .

12.14.

,
30 — 3000 cm^{-2} ; 30 — 5200 cm^{-2} ;

15 .

, , ,

: 1.

30 %

2.

1,5 .

3.

18 — 48 , 18 — 36 .

12.15.

, ,
18 , 108 cm^{-2} — ;
18 , 80 — ;
80

80

, , :
180 — ;

180
180

12.16. , , ,
108 , 400² , ,
2.01.02-85 2.09.02-85.

12.17. , , ,
23120-78.
, , ,
1 (),),
0,25 : 1. , , , 24
, , ,
2. , , ,
3. (),
4.
5. 2

12.18. , , ,
, , ,
12.19. () , ,
1 () 0,14 .

13.

13.1. , ,
- ,
13.2. - ,
13.3. () 200 (20) 500 (50) ()
) 25546-82.

13.4. 1575-81 () 1330-78), — 534-78,
— 25711-83 , , 12 .

$$2. \quad \frac{1}{\delta u} = \frac{2}{1,5}, \quad \hat{a}$$

13.5.

13.6.

13.7.

13.8.

13.9.

$$0,2 \quad (20 \quad /^2).$$

13.10.

$$(\quad 5 \quad)_1$$

13.11.

13.12.

$$\leq 0,05,$$

$$c = \Delta \frac{EI}{l^3}, \quad (50)$$

13.13.

13.14.

13.15.

II- .8-71.

ñõ ïó

1 . . . 435183 ().

, 1974, 25.

13.16.

1451-77

2.01.07-85

$$2 \quad (200 \quad /^2)$$

13.17.

,

,
2.02.01-83.

$$\frac{P_{\min}}{P_{\max}} \geq 0,25,$$

p_{\min}, p_{\max} —

/ m^2)

13.18.

0,004 0,003

0,05 (5,0 / m^2)

160 (16) $R \geq 0,15$ (1,5
. ($p_{\min} = 0$)).

13.19.

2.01.07-85.

13.20.

0,4—1,8

0,5 ()—

0,4 ()

13.21.

13.22.

0,5—0,5 0,7

60°

200

200

14.

14.1.

— (: — 0,3 1,2 — 0,3)
; — — 0,6 ,

9238-83 2.05.02-85.

14.2.

14.3.

14.4.

, , 3 6 .

, à

14.5.

101-81*.

14.6.

14.7.

14.8.

14.9.

14.10.

â

,

,

,

14.11.

,

14.12.

,

14.13.

»,

,

,

ðé

2.01.07-85

14.14.

, 0,75 (75 / μ^2).

100

— 0,45 (45 / μ^2) — 1 (100 / μ^2);

— 1,4;

— 1,2.

14.15.

14.16.

14.17.

" : — 0,3;
14.18.

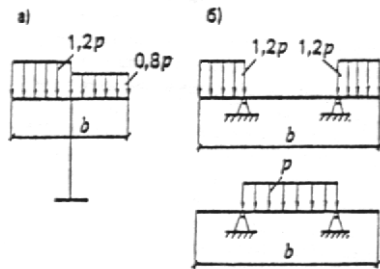
— 0,1; — 0,3;

" — 0,1.

$$p = qa/b, \quad (51)$$

$q =$
—
 $b =$

1 ;
7.

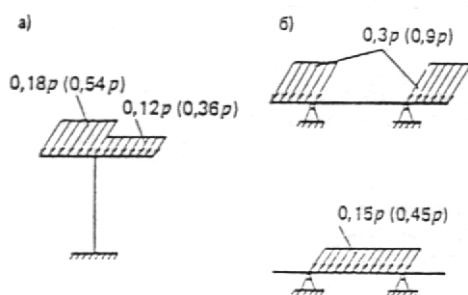


. 7.

— — ;

. 8.

1,1.



. 8.

— — ;

14.19.

: — 60 %; — 40 %;

— 30 %;

— 40 %;
— 30 %.

14.20.

$l =$
 $q =$
14.21.

1 ;

)

) 600 / (60 /) ; , ,
. 8, , , . 10 (, , —
, , , , „ „).

10

	5	6	7	8	9	10
	0,25	0,2	0,15	0,12	0,09	0,05

1. , 10,
2. ,
3. . (),
1 .

The diagram illustrates four beam configurations:

- a)** A horizontal beam of length b supported by two vertical columns at $x = \pm b/4$. The left column has a reaction force of $0,5P$ downwards, and the right column has a reaction force of $0,4P$ downwards.
- b)** A horizontal beam of length b supported by two vertical columns at $x = \pm b/2$. Both columns have a reaction force of $0,6P$ downwards.
- c)** A horizontal beam of length b supported by two vertical columns at $x = \pm b/4$. The left column has a reaction force of $0,09P$ upwards, and the right column has a reaction force of $0,06P$ upwards.
- d)** A horizontal beam of length b supported by two vertical columns at $x = \pm b/2$. Both columns have a reaction force of $0,09P$ upwards.

. 9. ðàñ ò

14.22.

(. . . 14.21),

()
).

14.23.

$$40d(d -$$

0,8 (0,2 ,

70°

45°

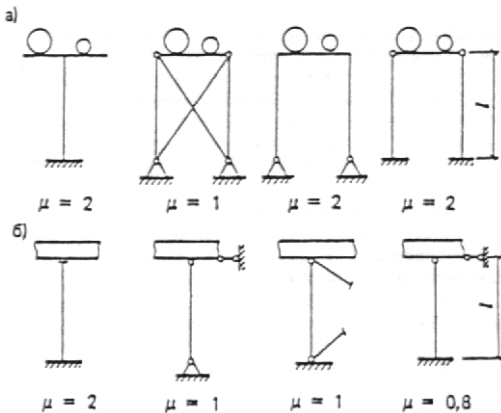
14.24.

$$- 4q;$$

$$- 2q.$$

14.25.

. 10.



. 10.

$$l_0 = \mu l$$

14.26.

1/150

1/75

14.27.

$$0,33$$

$$1,2R,$$

$$- 1,5R, R$$

14.28.

2.02.03-85.

$$1/75$$

2.02.03-85.

15.**15.1.**

, , , , ,

: 1.

2.05.07-

85.

2.

3.

,

15.2.

12, 18, 24 30 .
6 9 , 36 , 3 .

15.3.

0,6 .

. 1.7.

15.4.

101-81*.

2.09.02-85.

15.5.**15.6.**

(, ,);

, , ,

; ;

;

15.7.

, 11.

2.01.07-85.

15.8.

, , = 2.

, , ,

15.9.**15.10.****15.11.**

, (, , ,),

11

1.		/ (/)	1,5q, 0,15b
			0,15 γ ⁿ
2.		, / ² (/ ²)	0,12 γ ⁿ , 1,5 / ² (0,15 / ²)

$\gamma^n -$, / (/);
 $b -$, ;

II- .8-71,

áð èâ óñðîé ðèâûì
15.12.

10
15.13.

120
15.14.

15.15.

100
0,7
15.16.

25
1:1,

(,),

120

1,7:1,

5

300 m^2 ,

0,7

15.17.
15.18.

, 1 —

: 0,9 —

12,

0,25
0,25
15.19.

0,75

15.20.

0,75

15.21.

0,5

15.22.

305-77.

15.23.

15.24.

15.25.

(

)

0,75

0,6

— 150 ,

— 120 .

15.26.

—

300 .

150 ,
25

15.27.

1:1.

,

,

,

,

,

, .),

15.28.

12°

1:1.

1,5 .

15.29.

,

. 4.30 4.31.

16.

16.1.

1520 ,

16.2.

16.3.

2.05.07-85.

16.4.

(
1,8, 3, 6, 9 .

)

16.5.

3

,

,

,

3

12

16.6.

2.05.03-84

= 14.

;

80 %,

,

, — 20 %

,

20 %

$\gamma_f = 1,25.$

, : — 1,1 ;
— 2.05.03-84,

1,1.
16.7.

, 3
3

16.9.

0,7 , 60° 23120-78.

16.10. (50), [50 ° , 0,5]

17.

17.1.

() .

17.2. (, .), 2.04.02-84,

17.3. : 4:3;

17.4. — , — 0,3 1,7 ,

0,15 .

17.5. , 0,20 .

17.6. , ,

17.7.

17.8. , , ,

17.9. , ,

1- 8486-66.

17.10.

		2.03.11-85.
17.11.	,	4795—68.
		10268-80.
17.12.	:	
	— 15;	
	() — 25;	— $\hat{A}25$;
	— $\hat{A}30$;	
	— $\hat{A}25$	—
30.		
17.13.		2
	II.23-81.	
17.14.		
		2.04.02-84.
17.15.	0,2	
17.16.		
17.17.		2,5
	,	
	,	
17.18.	— 400	400^2 ,
17.19.	1200	1200^2 .
	404	3, , 606 .
17.20.	30	30^2 , , ,
	30	30^2 ;
	30°	40 ° ;
	(), . .),	; , ,
17.21.		, — , , (, , ,
	15	. .). , , ,
17.22.	2.01.07-85,	— 2 (200 / 2),
	$\gamma_f = 1,4$.	
		().

17.23.

, , 10 . $^3/\cdot$,
50° .

17.24.

,

17.25.

686 .

17.26.

,

100 2

15 .

, ,

17.27.

17.28.

1

,

—

25° .

17.29.

17.30.

28° .

17.31.

160

200 , 200 — ,

17.32.

35 .

17.33.

1 .

17.34.

,

17.35.

17.36.

1,0 .

17.37.

17.38.

17.39.

2.01.07-85.

,

— 20 %

3,5 (350 / 2)

18.

18.1.

, , , , ,

—

18.2.

. Å

,

18.3.

18.4.

2,0

18.5.

3

-3

-0,6

1,5

18.6.

3,6

8,4

18.7.

II-4-79.

18.8.

18.9.

ññ í ñü

18.10.

18.11.

Â15.

18.12.

18.13.

18.14.

2.02.01-83

18.15.

2.01.07-85,

.12.

18.16.

, ,

$$\eta = 0,6 \left(1 + 1/\sqrt{n} \right), \quad (52)$$

18.17.

		γ_f
	,	1,2
	(,)	1,2
	,	1,2
	,	1,0
	,	1,2
	(,)	1,2
	,	1,0

: 1.

()

2.

,

,

18.18.

18.17

18.19.

,

,

18.20.

2.03.11-85

, , —

18.21.

2.01.02-85

1:1.

1,7:1.

0,75

18.22.

,

18.23.

-

18.24.

,

0,7

18.25.

,

—

, , , , 2.01.02-85.

18.26.

18.27.

18.28.

18.29.

25772-83.

18.30.

2.04.01-85.

18.31.

19.

19.1.

19.2.

19.3.

3,6

0,6

: 1,2; 1,5; 1,8; 2,1; 2,4; 2,7; 3,0; 3,3;

1,2 —

(

) 3,6 —

0,4

45

19.4.

105, 120

()

30

120

: 30, 45, 60, 75, 90,

19.5.

19.6.

19.7.

,

—

120°

40 %

, 30 %

20 %

19.8.

25

12,5
 $1\frac{1}{2}$ — 2

1/2

19.9.

19.10.

19.11.

19.12.

19.13.

19.14.

19.15.

19.16.

19.17.

83*

19.18.

19.19.

19.20.

19.21.

19.22.

19.23.

19.24.

19.25.

,

25° 0°

19.26.

1/75

19.27.

1,12.

19.28.

19.29.

2.03.04-84.

19.30.

(

).

0,02—0,04

19.31.

125—150.

125

15 %.

25.

50.

19.32.

, 10 , — 1,5 .

1 $\frac{1}{2}$

19.33.

19.34.

II-22-81.

$$, \dots_0 \leq (D^2 + d^2) / 8D, \quad D = d - \frac{R}{R}$$

0,9.

19.35.

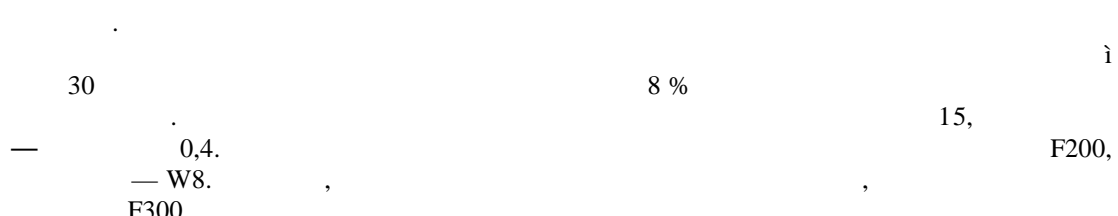
0,7.

19.36.

20.

3,1.

19.37.



19.39.

4,8 — 160 ; 7,2 — 180

;

9 — 200 , 9 — 250 .

19.40.

: — 0,2, — 0,4 %.

2.03.01-84.

19.41.

25 %

19.42.

30

5

19.43.

,

,

2.03.04-84.

19.44.

— 0,1 ,

— 0,2

0,3

19.45.

, ,

19.46.

— 1/10;

— 1/4.

1/20;

1/25

19.47.

20

60

, ,

19.48.

— 1/5;

1/3 1/4
1/3

19.49.

120

19.50.

4

, ,

19.51.

19.52.

19.53.

II-23-81

2 —
4 —

19.55.

300 °

II-23-81.

19.56.

II-23-81.

2

19.57.

,

20.

20.1.

, 80—90 %,

, , ,

20.2.

II-23-81.

210

20.3.

, — , ;

20.4.

, — , ;

13.

13

,	,
45	0,6; 0,9; 1,2; 1,5
60	0,6; 0,9; 1,2; 1,5; 1,8; 2,4
75	1,5; 1,8; 2,4; 3; 3,6
90	1,5; 1,8; 2,4; 3; 3,6; 4,8; 6
120	1,8; 2,4; 3; 3,6; 4,8; 6; 7,2
150	1,8; 2,4; 3; 3,6; 4,8; 6; 7,2
180	1,8; 2,4; 3; 3,6; 4,8; 6; 7,2
210	1,8; 2,4; 3; 3,6; 4,8; 6; 7,2
240	3,6; 4,8; 6; 7,2

1

, : — 1,0; 1,6; 2,0 3,2;
— 1,2; 3,0; 3,8; 4,5 7,0.

20.5.

,

, ,

20.6.

()

()

20.7.

()

,

2—2,5

, 8—10 .

20.8.

1/8

, , ,

, ,

()

,

(

)

0,7

20.9.

1,5—2,5

20.10.

,

20.11.

II-23-81

1 —
2 —

, ; , ; , ;

4—
20.12.

,

II-23-81.

20.13.

20.14.

20.15.

20.16.

20.17.

20.18.

20.19.

20.20.

20.21.

20.22.

20.23.

20.24.

20.25.

20.26.

20.27.

, 100

50 °

1 ,

21.**21.1.**

500 800 3 .

(3 ,

100 3)

15, 25, 50, 100, 150, 200, 300,
15 50**21.3.****21.4.**

5 %

21.5.**21.6.**

()

21.7.**21.8.****21.9.**

0,25.

 $\leq 0,004.$ **21.10.**

8 .

21.11.**21.12.**

22.

22.1.

22.2.

(I II) , II-18-76.

22.3.

(, ,),

II-36-73.

22.4.

I

:
;

22.5.

II

,

,

:

, , ,

,

;

22.6.

II
2.02.01-83,

,

:

;

,

;

,

;

22.7.

(

II)

14.

14

		,	
15 — 30		42	60
30		24	30

II-18-76.

22.8.

II

â

,

,

,

22.9.

,

,

22.10.

(, ,),

),

,

22.11.

IÁ I ,

2.01.01-82.

22.12.

(, I)

22.13.

100

22.14.

,

22.15.

I

II,

22.16.

I,

22.17.

,

,

22.18.

,

()

1

1.

ϕ ,

,

)

(
2.02.01-83.

2.

γ

$$\gamma_{sw}^n = \frac{\left(\gamma_s^n - \gamma_w^n \right)}{1+e} \quad (1)$$

$$\frac{\gamma_s^n \cdot \gamma_w^n}{\gamma} =$$

;

$$\gamma_s^n = 18 \quad / \quad (1,8 \quad / \quad 3); \quad \gamma_s^n = 26,5 \quad / \quad (2,65 \quad / \quad 3); \quad \gamma_w^n = 10 \quad / \quad (1 \quad / \quad 3).$$

3.

$$k \quad 0,95 (\gamma, \phi), \quad 536-81$$

$$\gamma'_I = 0,95 \gamma_I = \gamma^n$$

$$\gamma'_{II} = 0,95 \gamma_{II} = 0,95 \gamma^n;$$

$$\varphi'_I = 0,9 \varphi_I = 0,82 \varphi^n$$

$$\varphi'_{II} = 0,9 \varphi_{II} = 0,9 \varphi^n;$$

$$\varphi'_I = 0,9 \varphi_I = 0,78 \varphi^n$$

$$\varphi'_{II} = 0,9 \varphi_{II} = 0,5 \varphi^n;$$

$$c'_I = 0,5 c_I = 0,33 c^n,$$

$$c'_{II} = 0,5 c_{II} = 0,5 c^n,$$

$$(0,7 \quad / \quad 2) \quad ^7$$

$$(1 \quad / \quad 2) \quad ^{10}$$

(2)

$$4. \quad p_{hr}(\sigma_{\cdot \cdot}) - p_{vr}(\sigma_{\cdot \cdot}) \quad p_h(\sigma_{\cdot \cdot})^* \quad p_v(\sigma_{\cdot \cdot}) \quad ,$$

II-55-79.

$$\begin{aligned} hq & \quad . 1. \\ h & \quad (\dots . 1, \dots), \\ 1 & \quad (\dots . 1, \dots). \end{aligned}$$

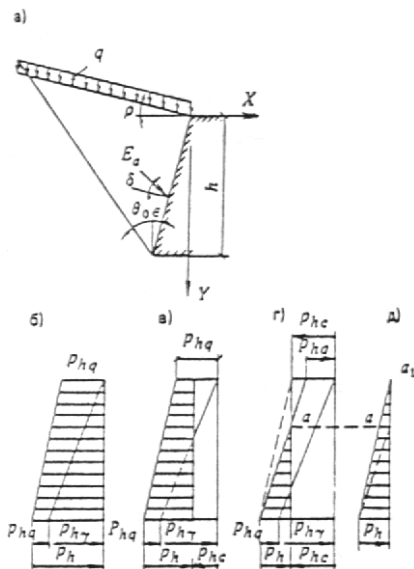
$h = 0.$

5.

$$\theta_0 = 45^\circ - \frac{\varphi}{2}. \quad (3)$$

6. ,

* II-55-79.



. 1.

$$— ; — \quad (\quad p_{hc} = 0; \quad — \quad p_{hc} < p_{hq}; \quad — \quad)$$

$$\varepsilon = \delta = 0,$$

$$\lambda_h = \operatorname{tg}^2 \theta_0. \quad (4)$$

y

$$p_h = (\gamma y + q) \lambda_h - 2\sqrt{\lambda_h} c, \quad (5)$$

$\frac{q}{7.} — , , , ,$

$$p_{hw} = h_w [10 - \lambda_h (\gamma - \gamma_{sw})], \quad (6)$$

$h_w — , , ;$

λ_h — , (4);
 γ — ;
 γ_{sw} — , (1).

8.

(. 2) q b θ_0

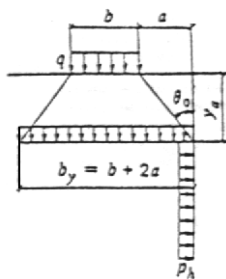
$$y_a = \frac{a}{\tan \theta_0}$$

$$b_y = b + 2a,$$

$$P_v = q b / b_y. \quad (7)$$

$$P_h = P_v \lambda_h. \quad (8)$$

$$P_h = P_v \lambda_h$$



. 2.

9.

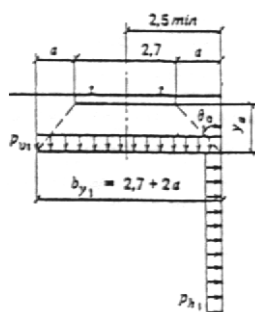
2.05.03-84
, -80 —

— , -60 —

1 (. 3). —

785 (80). Å-60 —
ññ 583 (60).

-80



. 3. ð ä ë ÿ

10.

2,7

q_1^n , :

$$q_1^n = \frac{2,7}{2,7}, \quad (9)$$

$$= \frac{137}{98} = \frac{(14)}{(10)} \cdot \frac{1}{c} = 1,5;$$

11.

$$P_{v1}^n = \frac{a}{\operatorname{tg} \theta_0}, \quad y_a = \frac{a}{\operatorname{tg} \theta_0}$$

(. . . . 3) $b_{y1} = 2,7 + 2$.

$$P_{v1}^n = 2,7 q_1^n / b_{y1}, \quad (10)$$

$$q_1^n = \dots, \quad (9).$$

h1

(8).

12.

$$P_v^n = \dots, \quad y, \quad ,$$

$$P_{v2}^n = \frac{103}{1,35 + \operatorname{tg} \theta_0 y}, \quad (11)$$

13.

$$\nu = 0,98, \quad , \quad 9,81, \quad , \quad (1, \quad), \quad (8).$$

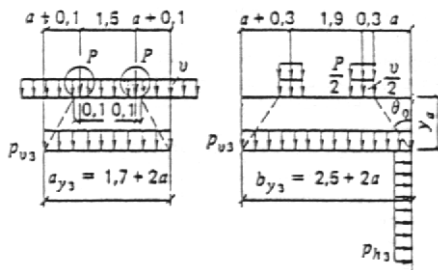
(. . 4),
 $v = 0,98, \quad / \quad (0,1, \quad / \quad).$

-11

-80.

-8

$$, \quad 108 \quad -60., \quad ,$$



.4.

$$b_3 = 2,5 + 2 \quad () \quad b_3 = 1,7 + 2 \quad ()$$

$$P_{v3}^n = \frac{2P}{a_{y3} b_{y3}}, \quad (12)$$

$$v, \quad v, \quad b_{y4} = b_{y3}.$$

$$P_{v4}^n = \frac{v}{b_{y4}}. \quad (13)$$

$$P_{v3}^n + P_{v4}^n.$$

$$P_{h3}^n \quad P_{h4}^n$$

15.

k

(. 5)

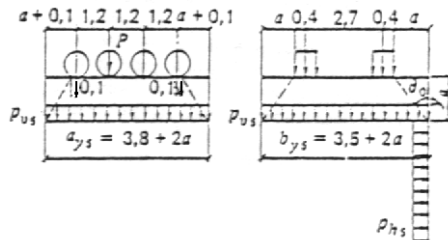
$$y_a = \frac{a}{\operatorname{tg} \theta_0}$$

$$h3 \quad p_{h4} \quad (8).$$

-80

$$P_{v5}^n = \frac{785}{a_{y5} b_{y5}}, \quad (14)$$

$$P_{h5}^n \quad (8).$$



. 5.

-80

16.

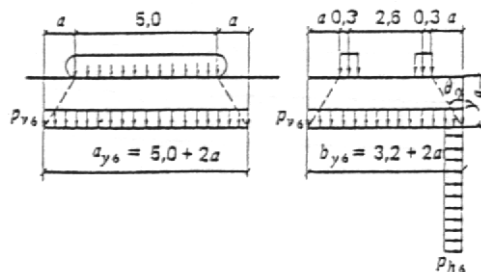
(. 6)

$$y_a = \frac{a}{\operatorname{tg} \theta_0}$$

$$6 = 5,0 + 2a \quad b_6 = 3,2 + 2a$$

-60

$$P_{v6}^n = \frac{588}{a_{y6} b_{y6}}, \quad (15)$$



. 6.

-60

äu

17.

(. 7)

$$\geq 0,6$$

$$P_{v7}^n = \frac{28}{1 + 0,8 \operatorname{tg} \theta_0 y}, \quad (16)$$

-80

$\geq 0,8$

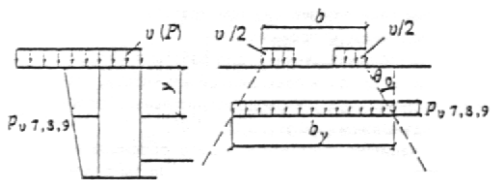
$$P_{v8}^n = \frac{44}{1 + 0,55 \operatorname{tg} \theta_0 y}, \quad (17)$$

-60

$\geq 0,8$

$$P_{v9}^n = \frac{34}{1 + 0,6 \operatorname{tg} \theta_0 y}, \quad . \quad (18)$$

p_{h6-9} (8).



.7. , -80 -60

18.

9,81 (1 / m^2).

19.

0,6

30° ,

— 45°.

20.

: , , — , , , 2.01.07-85;
 , , , — , , , 2.05-03-84.

1.

2

1.

(—)
 (, , . .)
 65°

2.01.01.-82.

2.

50 ° ,

, , , ,

3.

, , , 2.03.11-85.

4.

(, , . .).

5.

() (. 1).

(,), ,
 ().



				()	
() d,	12 — 48	12 — 140	56 — 125	12 — 48	6 — 48
	25d	15d	30d	10d	10d (8d)*
	6d	8d	10d	5d	8d
	4d	6d	6d	5d	8d
χ	0,4	0,4	0,25	0,6	0,55
k	1,9 (1,3)**	1,9 (1,3)	1,5	2,5 (2)	2,3 (1,8)

*
**

16 .
 k .

,	,	,	,
,	,	,	,
,	,	,	,
20d.			
6.	—	24379.1-80.	24379.0-80,
7.			
8.		R_{ba}	II-23-81.
		$F,$	
		0,75P,	1,1 , — ,

9. $(\quad \quad).$
 $(\quad \quad \quad)$

$$A_{sa} = \frac{k_0 P}{R_{ba}}, \quad (1)$$

$k_0 = 1,35 —$, 1,05 — .
 $\quad \quad \quad$,
 $\quad \quad \quad$ 1,15. ,
10. , (1),

$$A_{sa} = \frac{1,8 \chi \mu}{\alpha} \cdot \frac{P}{R_{ba}}, \quad (2)$$

$\chi —$, .1 :
 $\mu —$, .2 ;
 $\alpha —$, .3.

2

μ	
0,9	10 — 12
1	16
1,1	20 — 24
1,3	30 — 36
1,6	42 — 48
1,8	56 — 72
2	80 — 90
2,2	100 — 125
2,5	140

3

α	
3,15	$0,05 \cdot 10^6$
2,25	$0,2 \cdot 10^6$
1,57	$0,8 \cdot 10^6$
1,25	$2 \cdot 10^6$
1	$5 \cdot 10^6$

11.

$$(\dots , 1),$$

12.

$$, \quad \vdots \quad ,$$

$$P = -\frac{N}{n} + \frac{M}{\sum y_i^2}, \quad (3)$$

N — ;
 n — ;
 y_1 — ;
 y_i — ;

13.

$$, \quad , \quad ,$$

$$P = (M - Nb) / nh, \quad (4)$$

N — ;
 b — ;
 n — ;
 h — ;

14.

$$,$$

$$P = (R_b B_s x - N) / n, \quad (5)$$

R_b — ;
 b_s — ;
 n — ;
 N — ;
 F_1 — ;
15. ;
 в ы н е с и т о в

2.03.01-84

16.

k — ;
 Q — ;
 N — ;
 f — ;
 F_0 — ;
 ()

$$F_1 = k \frac{Q - Nf}{nf}, \quad (6)$$

, . 1; ;

0,25;

()

$$F_0 = F + F_1 / k. \quad (7)$$

17.

Q , ,
 в ы н е с и т о в,

,

$$Q \leq f \frac{M + N(h-b)}{h}, \quad (8)$$

, (4).
,

$$Q \leq f(n A_{sa} R_{ba}/4 + N), \quad (9)$$

f — , 0,25;
— ;
 N^{sa} — ;
18. , , , $\hat{A}12,5$ 3 2
. 1.

0

$$H_0 = H m_1 m_2, \quad (10)$$

m_1 — . 24 , B12,5
— , m_1 1;
 m_2 — 3 2.
19. — 10d, , , — 5d.
20. . 1.
— , 5d. 2d

30 . , 150 — 48 200 — 100 48

) . (, , , ,
,

3

A_{sa} — ;
 b — ; () ;
 d — ;
 t — ;
 t_{red} — ;
 H — ;

h_w —		;	
—			;
u —		;	
ρ —	.		
,			
—		;	
N —		;	
N_u —			;
Q —		;	
P —		;	
q —			;
v —		;	
h —		;	
$p_{h\gamma}$ —			;
p_{hq} —			;
p_{hc} —			;
hw —			;
p_{ad} —			;
v —			;
F_v —			;
F_{sa} —		;	
F_{sr} —		;	
F —			;
—			;
b —		;	
a —			;
E_{hr} —			;
I_h —	1		;
R —			;
R_b —			;
R_{ba} —			;
α_t —			;
α_v —			;
v —	.		
.			
γ_c —		;	
γ_n —			;
γ_f —	.		
.			
γ —		;	
γ_s —			;
γ_w —			;
γ_{sw} —			;
φ —			;
—			;
θ_0 —			;
e —			;
f —			;
β —			;
λ_h —			;
λ_{hr} —			;
λ_0 —	.		

1. 2.01.01-82 —
2. 2.01.02-85 —
3. 2.01.07-85 —
4. 2.02.01-83 —
5. 2.02.03-85 —
6. 2.03.01-84 —
7. 2.03.04-84 — ,

8. 2.03.11-85 —
9. 2.04.01-85 —
10. 2.04.02-84 —
11. 2.04.03-85 —

12. 2.05.02-85 —
13. 2.05.03-84 —
14. 2.09.02-85 —
15. 2.10.05-85 — ,

16. II-4-79 —
17. II-13-76 —

18. II-22-81 —
19. II-23-81 —
20. II- .10-73* —
 (II-36-73*)
21. II-33-75* — ,

22. II-55-79 — ,
23. II-89-80 — ,
24. II-92-76 — ,

25. II-106-79 —
26. II-8.8-71 —
27. 245-71 — ,

28. 301-65* —
29. 305-77 — ,
30. 536-81 — ,
31. 101-81* — ,

32. 534—78 —
33. 1451—77 — ,

34. 1510—84 — ,
35. 1575—81 — ,
35. 4795—68 —

37.	9238—83	—	
38.	10268—80	—	1520 (15241)
39.	14249—80	—	
40.	17032—71	—	
41.	23120—78	—	,
42.	24379.0—80	—	.
43.	24379.1—80	—	.
44.	25546—82	—	
45.	25711—83	—	
46.	25772—83	—	50 , , 50 , ,
47.	12.2.022	— 80	—